

Fig. 5. Temperature dependence of the density of molten slags.

いる。

密度の測定法は、粘度の高い場合の天秤のresponseの悪化、零点移動あるいは溶融滓の表面張力の影響というよう誤差因が多く、また白金球の体積(1500°Cにおいて約 0.286cm^3)も小さいので測定精度の点で満足すべきではないが、一応測定結果をFig. 5として図示する。図によればMgO添加の場合には密度の温度依存性にあまり大きな変化はみうけられないが、FeO添加の場合には1400°C付近で密度の温度依存性が急に変化しており、MnOの場合にも大きな変化が認められる。こうした密度の変化状態は、溶融滓の液体構造が変化することに起因するものか、滓の酸化の程度の相違とか滓表面の酸化程度の相違に基づく表面張力変化の影響なのかあるいはその他の理由なのか不明である。

4. 結 言

$\text{CaO}(43)-\text{SiO}_2(43)-\text{Al}_2\text{O}_3(14)$ 原試料鉱滓に、 FeO 、 MgO および MnO を添加した場合の粘性係数を、天秤式の白金球引上げ法により測定し、以下の結果を得た。

- 各酸化物を添加した場合の粘性係数はArrhenius型の式によく適合する。
- 酸化物を添加することにより溶融滓の粘性は低下し、その効果は同一モル数添加において $\text{FeO} > \text{MnO} > \text{MgO}$ の順である。
- 活性化エネルギー E_η は酸化物添加量とともに高くなる。頻度係数は添加量とともに減少する。その効果は同一モル数の添加において、 E_η について $\text{FeO} > \text{MnO} > \text{MgO}$ 、 A_η について $\text{FeO} < \text{MnO} < \text{MgO}$ である。
- 密度は FeO および MnO 添加の場合において異常な温度依存性を示す。

文 献

- 加藤、蓑輪：鉄と鋼, 51(1965) 10, p. 164
- 加藤、蓑輪：鉄と鋼, 51(1965) 10, p. 166
- 加藤、蓑輪：鉄と鋼, 51(1965) 10, p. 169
- L. S. DARKEN & R. W. GURRY: Physical Chemistry of metals, (1953), p. 361 [McGraw-Hill Book Co., INC]

(126) $\text{CaO}(43)-\text{SiO}_2(43)-\text{Al}_2\text{O}_3(14)$ 溶融滓の粘性におよぼす V_2O_5 、 Cr_2O_3 、 P_2O_5 および TiO_2 の影響 (溶融滓精錬に関する研究—VI)

名古屋工業技術試験所

○加藤 誠・工博 萩輪 晋

Effect of V_2O_5 , Cr_2O_3 , P_2O_5 or TiO_2 on the Viscosity of Molten $\text{CaO}(43)-\text{SiO}_2(43)-\text{Al}_2\text{O}_3(14)$ Slag.

(Research on the molten slag refining—VI)

Makoto KATO and Dr. Susumu MINOWA.

1. 緒 言

鉄鋼精錬においては精錬用滓の溶融状態における性状を知ることがきわめて重要であるにもかかわらず、それの解明されているものは少ない。そこで筆者らは、溶融滓の物性を知るべく一連の実験を行なった。

本論文においては $\text{CaO}(43)-\text{SiO}_2(43)-\text{Al}_2\text{O}_3(14)$ 原試料鉱滓に多価酸化配位数をとりうる金属の酸化物である V_2O_5 、 Cr_2O_3 、 P_2O_5 および TiO_2 を添加した場合の溶融滓の粘性係数を前報¹⁾と同様に白金球引上げ法により測定した結果について発表する。

2. 実 験

2.1 原試料鉱滓および添加用酸化物の調整

原試料鉱滓は前報¹⁾の実験で用いたものと同じものを用いた。すなわち、試薬一級の無水ケイ酸、炭酸石灰およびアルミナ粉末をエレマ炉で大気中溶解し、430°C, 1hr 保持後水中急冷し、破碎、加熱乾燥したものである。

添加用酸化物は次のごとく調整した。

V_2O_5 : 試薬特級のメタバナジン酸アンモン(NH_4VO_3)を空気中で 600°C に加熱して得た。

Cr_2O_3 : 試薬一級のものを 800°C, 2hr 加熱乾燥して使用した。

P_2O_5 : 試薬一級のものをそのまま用いた。

TiO_2 : 試薬一級のものを 800°C, 2 hr 加熱乾燥して使用した。

2.2 溶融滓の粘性係数の測定

所要量の添加用酸化物を原試料鉱滓に配合し、白金ルツボに入れて白金球引上げ法による天秤式の粘度測定装置にセットして鉱滓を溶解する。溶融点より約100°C高い温度に 1~1.5hr 保持して溶滓の均質化および気泡の逸脱をはかり、ついで白金球を溶渣中に浸漬して測定を行なうのであるが、以下の操作および条件は前報^{1,2)}とまったく同様である。

ところで前報^{1,2)}では述べなかつたが、測定用の白金ルツボは白金線のリードで接地してある。これは、本実験のごとく V_2O_5 や TiO_2 のような半導体的特性を有する溶融物を含むガラスにおいては加熱用電源の誘導がかなり大きく測定を妨害し、天秤の平衡がとりにくい場合が起るので、こうした誘導の影響を除くためである。

3. 結 果 と 考 察

Fig. 1 および 2 に粘性係数の温度依存性を示す。各測定結果は高温域においては Arrhenius 型の式 $\eta = A_\eta \cdot \exp(E_\eta/RT)$ によく適合しているが、比較的低い温度

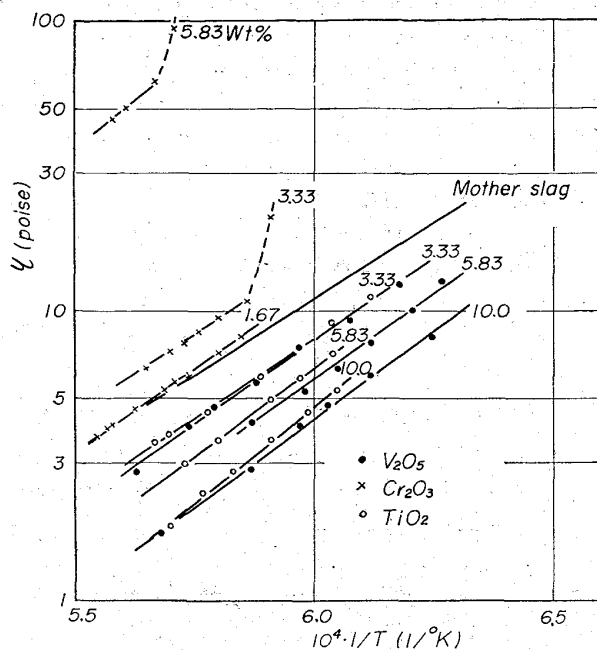


Fig. 1. Influence of V_2O_5 , Cr_2O_3 and TiO_2 addition on the viscosity of $CaO(43)-SiO_2(43)-Al_2O_3(14)$ slag.

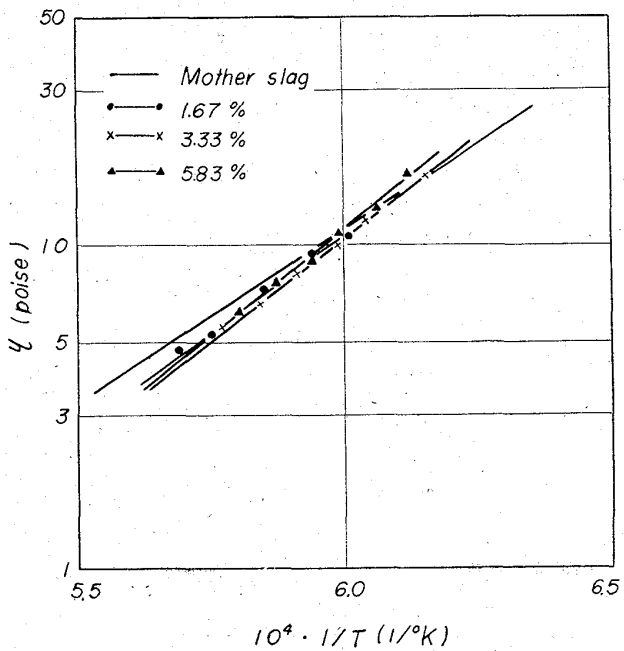


Fig. 2. Influence of P_2O_5 addition on the viscosity of $CaO(43)-SiO_2(43)-Al_2O_3(14)$ slag.

になるとこの傾向からのがれがみられ、 Cr_2O_3 添加の場合において顕著である。これは斎藤らの報告³⁾しているように、低い温度では一部結晶化が起り始め Cr_2O_3 あるいは Wollastonite($CaSiO_3$)の微粒子が晶出することに起因する。それと同時に初期の組成からののがれが起こるためと考えられる。

また図からわかるように、 V_2O_5 および TiO_2 の添加により粘性は顕著に低下しており、 P_2O_5 の添加によってわずかに低下している。一方、 Cr_2O_3 の添加によつて

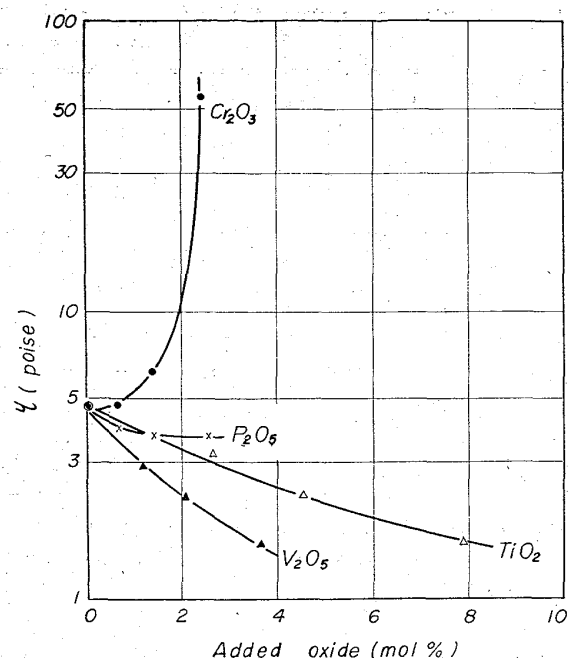


Fig. 3. Influence of oxides addition on the viscosity of $CaO(43)-SiO_2(43)-Al_2O_3(14)$ slag at 1500°C.

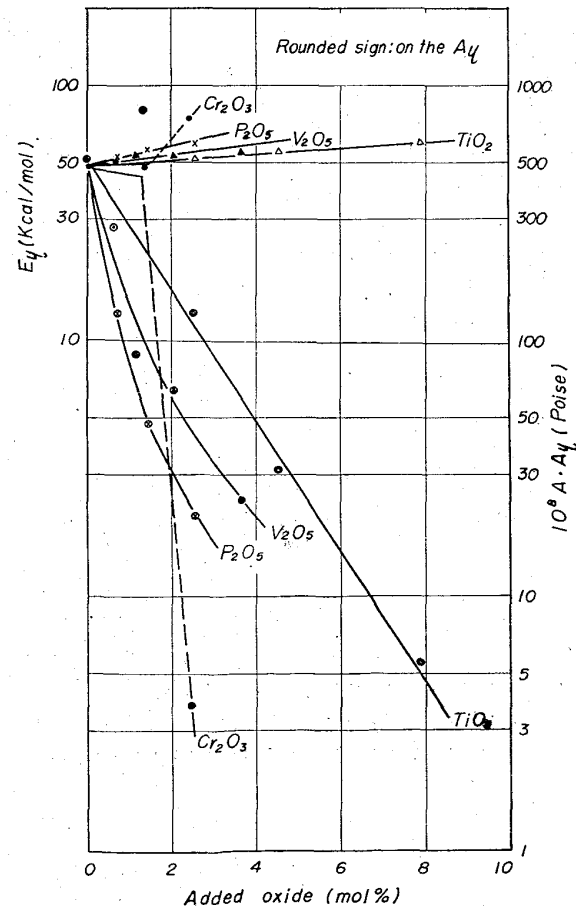


Fig. 4. Influences of oxides addition on the E_7 and A_7 .

Table 1. Density of molten slags at about 1500°C.
(mother slag: CaO 43, SiO₂ 43, Al₂O₃ 14)

Oxide	addition(mol %)	density(g/cm ³)
TiO ₂	2.58	2.96
	4.55	3.01
	7.90	3.03
P ₂ O ₅	0.74	2.78
	1.47	2.80
	2.60	2.85
Cr ₂ O ₃	0.68	2.66
	1.38	2.68
	2.45	2.74

は、粘性は顕著に増大する。この効果を明白にするために、各酸化物の添加量と1500°Cにおける粘性係数を図示したのがFig. 3である。同一モル数の添加ではV₂O₅がもつとも粘性を低下させており、ついでTiO₂, P₂O₅の順であり、Cr₂O₃は逆に粘性を高くる。

測定結果は前述のようにArrhenius型の式によく適合しているので、測定結果を最小2乗法で処理することにより活性化エネルギーE_ηおよび頻度係数A_ηを決定することができる。酸化物の添加量とE_ηおよびA_ηの関係を示せばFig. 4のようである。活性化エネルギーは各酸化物の添加量の増加とともに増加しており、頻度係数は逆に減少している。V₂O₅, TiO₂およびP₂O₅添加の場合には添加量に対してE_ηおよびA_ηは一連の傾向をもつて変化しているが、Cr₂O₃添加の場合にはCr₂O₃=1.5 mol%付近で異常な変化を示しておらずCr₂O₃含有溶融滓の液体構造の複雑さを予想させる。

本実験において用いた粘度測定装置が天秤式であるために、粘度の測定と同時に溶融滓の密度の測定も可能である。すなわち、アルキメデスの原理に基き、溶融滓中の白金球の受ける浮力を測定すれば球の体積既知であるから密度の算出が可能であり、それを試みた。しかし、球の容積が小さく(1500°Cで約0.286cm³)、また温度が低くて粘度が高くなつた場合には天秤のresponseが悪化するというような誤差因が多いために、温度変化を求めるまでにはいたらなかつたが、一応1500°C近辺で得られた溶融滓の密度を表示すればTable 1のようである。

4. 結 言

CaO(43)-SiO₂(43)-Al₂O₃(14)溶融滓の粘性におよぼすV₂O₅, Cr₂O₃, P₂O₅およびTiO₂の効果を白金球引上げ法により測定し以下の結果を得た。

1) 温度の高い所では測定結果はArrhenius型の式によく適合するが、温度の低い所では適合しなくなり、この傾向はCr₂O₃添加の場合に顕著である。

2) V₂O₅, TiO₂およびP₂O₅の添加によって粘性は低下しその効果はこの順に小さくなる。

3) Cr₂O₃の添加によつては粘性は増大し、その効果は顕著である。

4) 粘性の活性化エネルギーは各酸化物の添加量とともに増加し、その効果はTiO₂<V₂O₅<P₂O₅の順に大となるがCr₂O₃は1.5 mol%付近で効果が急変する。頻度係数について

については、頻度係数は各酸化物の添加によって減少し、その効果はTiO₂, V₂O₅, P₂O₅の順に減少し、Cr₂O₃は1.5 mol%付近で急変する。

5) アルキメデスの原理に基づいて測定した溶融滓の密度は1500°C付近では約2.7~3.0 g/cm³である。

文 献

- 1) 加藤, 斎輪: 鉄と鋼, 51(1965)10, p. 169
- 2) 加藤, 斎輪: 鉄と鋼, 51(1965)10, p. 166
- 3) 斎藤, 佐伯: 鉄と鋼, 51(1965)10, p. 171

(127) CaO(43)-SiO₂(43)-Al₂O₃(14)溶融滓の粘性におよぼすNaF, CaF₂, MgF₂およびAlF₃の影響

(溶融滓精錬に関する研究—VII)

名古屋工業技術試験所

○加藤 誠・工博 斎輪 晋

Effect of NaF, CaF₂, MgF₂ or AlF₃ on the Viscosity of Molten CaO(43)-SiO₂(43)-Al₂O₃(14) Slag.

(Research on the molten slag refining—VII)

Makoto KATŌ and Dr. Susumu MINOWA.

1. 緒 言

溶融滓の流動性を良好にする目的で鉱滓にフッ化物を添加することは実操業においてしばしば行なわれることであり、またelectro-slag remelting processにおいてはCaF₂基のスラグが用いられており、フッ化物を含有する溶融滓の性状を知ることは単に学問的な興味にとどまらず、工業的にも意義あることである。

そこで筆者らは、溶融滓の物性を知るべく行なつてゐる実験^{1)~3)}の一環として、CaO(43)-SiO₂(43)-Al₂O₃(14)溶融滓の粘性におよぼす各種フッ化物添加の効果を白金球引上げ法により測定したので、その結果を発表する。

2. 実 験

2.1 原試料鉱滓および添加用フッ化物の調整

原試料鉱滓としては前報³⁾と同じものを用いた。

添加用フッ化物は、各試薬一級のNaF, CaF₂, MgF₂およびAlF₃を乾燥して原試料鉱滓に所要量配合して用いた。

2.2 溶融滓の粘性係数および密度の測定

添加用フッ化物を所定量原試料鉱滓に配合して測定に供した。粘性係数および密度の測定操作および条件は前報²⁾³⁾と同一である。

3. 結 果 と 考 察

各フッ化物を添加した場合の溶融滓の粘性係数の温度依存性をFig. 1に示す。測定結果はよくArrhenius型の式 $\eta = A_\eta \cdot \exp(E_\eta/RT)$ に適合しており活性化エネルギーE_ηおよび頻度係数A_ηを求めることができる。

そこで実測値を最小2乗法で処理することによりE_ηおよびA_ηを決定し、これをフッ化物の添加量(mol%)との関係において図示すればFig. 2およびFig. 3となる。E_ηはフッ化物添加量の増加とともに低下してお